

01;03

## Тепловой кризис вихреисточника

© А.Н. Кучеров

Центральный аэрогидродинамический институт им. проф. Н.Е. Жуковского,  
140180 Жуковский, Московская область, Россия  
e-mail: ank@aerocentr.msk.su

(Поступило в Редакцию 4 октября 2010 г.)

Исследовано влияние циркуляции в поле массового цилиндрического вихреисточника на явление теплового кризиса — запирание течения, вызванного энергоподводом в слое по известному закону. Отмечены существенные изменения величины параметра энергоподвода и слабые изменения координаты критического сечения, в котором достигается скорость звука, а также зависимость этих характеристик от месторасположения и ширины области теплоподвода. Изучается возможность перехода через скорость звука при расположении области тепловыделения вблизи минимального сечения вихреисточника. Показаны различия в многоатомном и одноатомном газе. Рассмотрены отличительные особенности для вихресточка.

### Введение

В работах [1,2] описаны различия одно-, дву- и трехмерного течения с заданным теплоподводом в сверхзвуковом потоке, в частности, по признаку наличия или отсутствия прямого скачка уплотнения, по характеру границы появления ударных волн, по режиму безударного перехода через скорость звука внутри области тепловыделения [3,4]. Установлено, что одномерное течение принципиально физически отличается от дву- и трехмерного. В связи с этим в работах [5,6] исследованы стационарные, зависящие от одной независимой переменной, течения цилиндрического и сферического массового источника в режиме запирания с помощью тепловыделения по заданному закону внутри слоя, расположенного в поле течения источника. По условию достижения скорости звука в замыкающем сечении  $r_{\text{ex}}$  зоны энергоподвода определены кризисные ситуации — запирание потока при координате  $r_{\text{cr}} = r_{\text{ex}}$ , *тепловой кризис*, по аналогии с одномерным случаем [7,8]. Показано, что количество возможных вариантов многократно возрастает по сравнению с одномерным случаем. Кроме того, достижение скорости, равной скорости звука, при некоторых условиях невозможно в замыкающем сечении  $r_{\text{ex}}$  вследствие наступающего равновесия между эффектом пространственного расширения, вызывающего торможение, и теплоподводом, ускоряющим поток. Запирание вследствие достижения скорости потока, равной скорости звука, происходит раньше в некотором критическом сечении  $r^* < r_{\text{ex}}$ . Особенности таких вариантов теплового кризиса описаны в работах [6,9]. В работе [6] отмечено также, что дополнительные различия и возможности управления потоком возникают в цилиндрическом *вихреисточнике*. Исследованию влияния циркуляции газа в массовом цилиндрическом источнике на тепловой кризис посвящена настоящая работа. Течения с распределенным теплоподводом могут быть реализованы лазерным пучком [10–13], электрическим разрядом [14–16], химическими реакциями.

### Постановка задачи

Вихреисточник с теплоподводом будем описывать в безразмерных переменных давление  $p/p_0$ , плотность  $\rho/\rho_0$ , температура  $T/T_0$ , радиальная и азимутальная компоненты скорости  $u/u_0$ ,  $v/u_0$ , скорость звука  $c/u_0$ , координата  $r/r_0$ , расход газа  $m = m_0/2\pi\rho_0 u_0 r_0$ , циркуляция  $\Gamma = \Gamma_0/2\pi u_0 r_0$ . Здесь характерные величины есть давление  $p_0$  на бесконечности (в случае затопленного пространства), плотность на бесконечности  $\rho_0$ , максимальная скорость  $u_0 = \sqrt{2\gamma p_0/(\gamma-1)\rho_0}$  (которая достигается при истечении в вакуум), температура  $T_0 = \mu p_0/R\rho_0$  (где  $R$  — универсальная газовая постоянная,  $\mu$  — молярная масса газа), физический расход газа  $m_0$  на один радиан, физическая размерная циркуляция  $\Gamma_0$ , физический минимальный радиус  $r_0$  (который определим ниже). Система уравнений, описывающих вихреисточник с тепловыделением, включает уравнения сохранения массы, радиальной и азимутальной компонент импульса, сохранения энергии и уравнение состояния [5,6,17–19]:

$$\frac{1}{\rho} \frac{d\rho}{dr} + \frac{1}{u} \frac{du}{dr} + \frac{1}{r} = 0, \quad (1)$$

$$\rho u \frac{du}{dr} + \frac{\gamma-1}{2\gamma} \frac{dp}{dr} - \frac{\rho v^2}{r} = 0, \quad (2)$$

$$\frac{dv}{dr} = -\frac{v}{r}, \quad (3)$$

$$\rho u \frac{d}{dr}(T + V^2) = \frac{g(r)}{\gamma}, \quad V^2 = u^2 + v^2,$$

$$g(r) = f(r) \times \begin{cases} E \\ Q\rho(r) \end{cases}, \quad (4)$$

$$E = \frac{(\gamma-1)g_0 r_0}{u_0 \rho_0}, \quad Q = \frac{(\gamma-1)\rho_0 q_0 r_0}{u_0 \rho_0},$$

$$T = \frac{p}{\rho}, \quad c^2 = \frac{c_{\text{phys}}^2}{u_0^2} = \frac{\gamma-1}{2} T,$$

$$M^2 = \frac{2V^2}{(\gamma-1)T}, \quad M_r^2 = \frac{2u^2}{(\gamma-1)T}. \quad (5)$$

Здесь  $M, M_r$  — полное и радиальное числа Маха;  $E, Q$  — параметры энергоподвода при погонной интенсивности тепловыделения в единицу объема  $g_0$ :  $J/m^2$  ( $J/m^3$  — в сферическом источнике,  $J/m^2$  — в цилиндрическом источнике) или при интенсивности теплоподвода на единицу погонной массы  $q_0$  ( $m \cdot J/kg$ ), обычно принимают  $g_0 = \rho_0 q_0$ ,  $f(r)$  — заданная функция (в настоящей работе рассмотрим постоянную  $f = C$  в интервале  $[r_1, r_2]$  и линейную  $f(r) = C_L(r_2 - r)$ ). Функция  $f(r)$  нормирована к единице

$$2\pi \int r f dr = 1,$$

так что

$$C = \frac{1}{\pi(r_2^2 - r_1^2)}, \quad C_L = \frac{1}{2\pi} \left[ \frac{r_2^3 - r_1^3}{3} + \frac{r_2 r_2^2 - r_1^2}{2} \right].$$

Заданы полный расход  $m_0$  и циркуляция газа  $\Gamma_0$ , вокруг центра  $r = 0$ . Они связаны между собой, как увидим ниже. Уравнения (1), (3), (4) имеют интегралы

$$r\rho u = m \equiv \frac{m_0}{2\pi\rho_0 u_0 r_0}, \quad v = \frac{\Gamma}{r} \equiv \frac{\Gamma_0}{2\pi u_0 r_0 r}, \quad (6)$$

$$H(r) \equiv \frac{p}{\rho} + V^2 = \Phi(r) \equiv 1 + \frac{1}{\gamma m} \begin{cases} EF(r) \\ QF_\rho(r) \end{cases},$$

$$F = \int_{r_{in}}^r f r dr, \quad F_\rho = \int_{r_{in}}^r \rho(r) f r dr. \quad (7)$$

Интегралы  $F(r)$ ,  $F_\rho(r)$ ,  $\Phi(r)$  характеризуют энергию, подведенную к рассматриваемому текущему сечению  $r$ , величина  $H(r)$  — полную энтальпию газа (измеряется в долях энтальпии газа в затопленном пространстве  $h_0 = \gamma p_0 / (\gamma - 1)\rho_0$ ). Начальная и замыкающая координаты равны  $r_{in} = r_1$ ,  $r_{ex} = r_2$  для вихреисточника и  $r_{in} = r_2$ ,  $r_{ex} = r_1$  — для вихресток. Тепловой кризис (запирание потока, невозможность стационарного течения при заданном расходе  $m_0$ ) наступает при достижении радиальной компоненты скорости значения скорости звука. Напомним, что, по определению, критическое сечение, совпадающее с замыкающим, есть  $r_{cr}$  ( $r_{cr} = r_2$  — вихреисточник,  $r_{cr} = r_1$  — вихресток); не совпадающее — по определению  $r^*$  ( $r^* < r_2$ ) — вихреисточник,  $r^* > r_1$  — вихресток, критические параметры энерговыделения обозначим  $E_{cr}$ ,  $Q_{cr}$  и  $E^*$ ,  $Q^*$  соответственно.

Уравнение (2) с учетом (3) можно записать в виде

$$\frac{1}{V} \frac{dV}{dr} + \frac{\gamma - 1}{2\gamma\rho} \frac{d\rho}{dr} = 0. \quad (8)$$

Если энергоподвода нет ( $f = 0$ ), то из (4), (8) получаем адиабату Пуассона  $p = \rho^\gamma$ . С учетом (6), (7) находим решения:

$$\begin{aligned} r^2 &= \frac{m^2/\rho^2 + \Gamma^2}{1 - \rho^{\gamma-1}} = \frac{m^2/p^{2/\gamma} + \Gamma^2}{1 - p^{(\gamma-1)/\gamma}} = \frac{m^2/T^{2/(\gamma-1)} + \Gamma^2}{1 - T} \\ &= \frac{2D(r)(\Gamma^2 + m^2 D^{2/(\gamma-1)})}{(\gamma - 1)M^2}, \end{aligned}$$

$$D(r) = 1 + \frac{\gamma - 1}{2} M^2,$$

$$\rho = p^{1/\gamma} = T^{1/(\gamma-1)} = \frac{m}{ru}, \quad v = \frac{\Gamma}{r}. \quad (9)$$

Вихреисточник (вихресток), как и источник (сток), имеет минимальное сечение  $r = 1$ , в котором радиальная компонента скорости равна скорости звука. Из условия минимума  $dr/d\rho|_{r=1} = 0$  находим значение плотности в этом сечении и связь между расходом  $m$  и циркуляцией  $\Gamma$  (подставляя  $u(1)$ ,  $T(1)$  в уравнение сохранения энергии (7), в котором  $\Phi = 1$ ):

$$\begin{aligned} \rho(1) &= \left[ \frac{2}{\gamma + 1} (1 - \Gamma^2) \right]^{1/(\gamma-1)}, \\ 1 - \Gamma^2 &= \frac{\gamma + 1}{2} \left( \frac{2m^2}{\gamma - 1} \right)^{(y-1)/(y+1)}. \end{aligned} \quad (10)$$

Таким образом, лишь один параметр подобия из двух  $m$ ,  $\Gamma$  является свободным, независимым. Максимальная циркуляция составляет  $\Gamma_{max} = 1$  (в физических переменных  $\Gamma_0^{max} = 2\pi u_0 r_0$ ), максимальный расход есть

$$m_{max} = \left( \frac{2}{\gamma + 1} \right)^{1/(\gamma-1)} \sqrt{\frac{\gamma - 1}{\gamma + 1}}$$

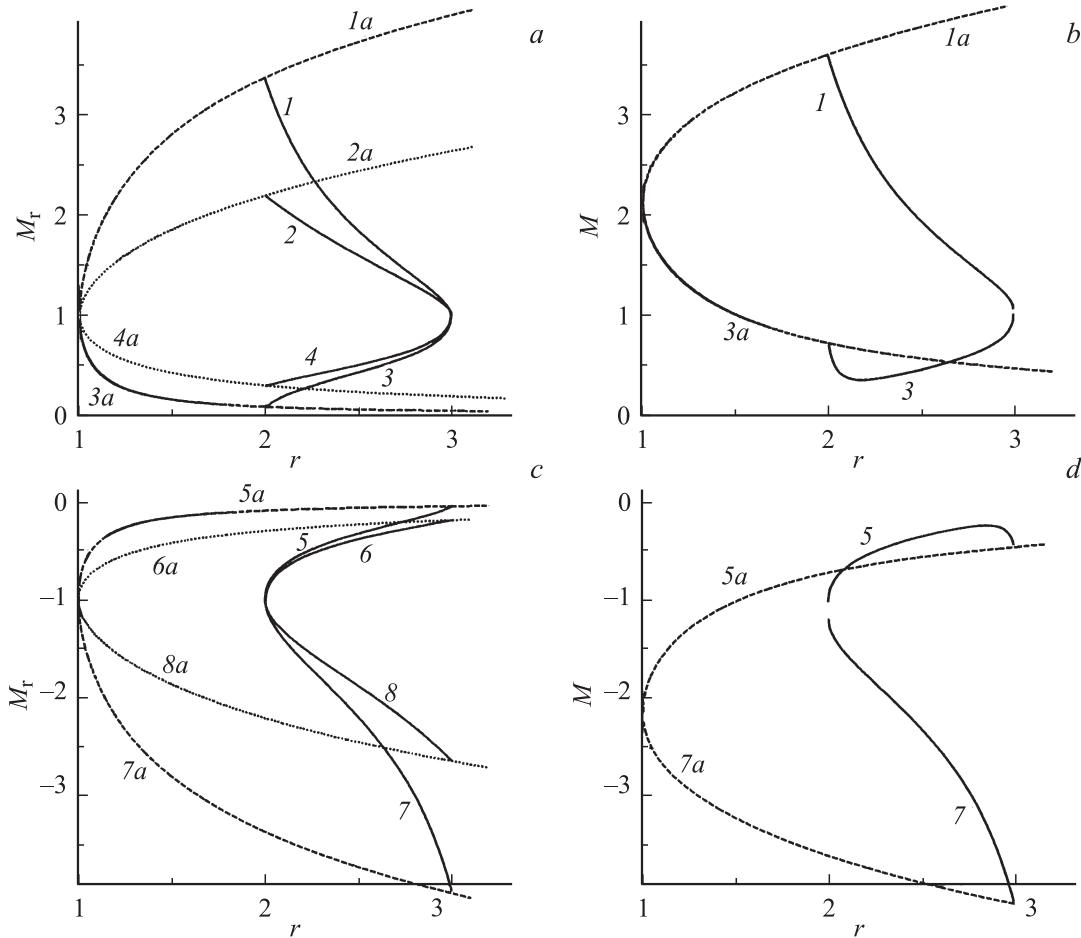
(в физических переменных  $m_0^{max} = 2\pi\rho_0 u_0 r_0 m_{max}$ ). Минимальный радиус вихреисточника  $r_0$ , на котором радиальная компонента числа Маха  $M_r$  равна единице, в физических переменных в общем случае есть:

$$r_0 = \frac{\Gamma_0}{2\pi u_0 \Gamma} \equiv \frac{m_0}{2\pi\rho_0 u_0 m}. \quad (11)$$

Следовательно, физические величины циркуляции  $\Gamma_0$  и массового расхода  $m_0$  также связаны между собой однопараметрической связью (11), зависящей от  $m$  (либо от  $\Gamma$ ). В источнике (стоке) при фиксации размерной величины расхода  $m_0$  однозначно задавался размерный минимальный радиус  $r_0$  ввиду того, что безразмерный расход зафиксирован и составляет  $m = m_{max}$ . В вихреисточнике (вихрестоке) при фиксации  $m_0$ , в зависимости от величины параметра подобия — безразмерного расхода  $m$  получим различный физический минимальный радиус  $r_0$ . Слабый теплоподвод ( $Q, E \ll 1$ ) в вихре (точнее, в слабом вихреисточнике, при  $m \rightarrow 0$ ) описан в работе [19]. Связь (10) между  $m$  и  $\Gamma$  показана в работе [6] на рис. 7 для  $\gamma = 1.1$  (многоатомный газ), 1.4 (воздух, двухатомный газ), 1.667 (одноатомный газ).

В общем случае при энергоподводе можно привести систему (1)–(5) к одному уравнению для каждой из искомых величин плотности  $\rho$ , скорости  $u$ , давления  $p$  или числа  $M$ :

$$\begin{aligned} \frac{1}{M} \frac{dM}{dr} &= \frac{1 + \frac{\gamma-1}{2} M^2}{M_r^2 - 1} \\ &\times \left\{ \frac{1}{r} + \frac{rg(r)}{2\gamma m \Phi(r)} \left[ 1 - M_r^2 \left( \gamma + \frac{2}{M^2} \right) \right] \right\}, \quad (12) \\ M_r^2 &= M^2 - \frac{\Gamma^2}{r^2 \Phi(r)} \left( 1 + \frac{\gamma - 1}{2} M^2 \right). \end{aligned}$$



**Рис. 1.** Зависимости радиального значения  $M_r$  (рис. 1, *a, c*) и полного числа Маха  $M$  (рис. 1, *b, d*) от координаты  $r$  (при  $\gamma = 1.4$ ,  $r_1 = 2$ ,  $r_2 = 3$ ,  $f(r) = C$ ). Кривые на рис. 1, *a*: 1 — вихреисточник в вакуум,  $\Gamma = 0.608$  ( $m = m_{\max}/4 = 0.0647$ ),  $E_{cr} = 0.490$ ,  $\Phi_{cr} = \Phi_2 = 1.85$ ; 1, *a* — без теплоподвода,  $E = 0$ ; 2 — источник в вакуум  $\Gamma = 0$  ( $m = m_{\max} = 0.2588$ ),  $E_{cr} = 1.33$ ,  $\Phi_{cr} = \Phi_2 = 1.582$ ; 2, *a* —  $E = 0$ ; 3 — вихреисточник в затопленное пространство,  $\Gamma = 0.608$ ,  $E_{cr} = 22.75$ ,  $\Phi_{cr} = \Phi_2 = 40.67$ ; 3, *a* —  $E = 0$ ; 4 — источник в затопленное пространство,  $\Gamma = 0$ ,  $E_{cr} = 9.30$ ,  $\Phi_{cr} = \Phi_2 = 4.793$ ; 4, *a* —  $E = 0$ . Рис. 1, *b* — то же, что и на рис. 1, *a*, но для  $M(r)$ . Кривые на рис. 1, *c*: 5 — вихресток из затопленного пространства,  $\Gamma = 0.608$  ( $m = 0.0647$ ),  $E_{cr} = 18.73$ ,  $\Phi_{cr} = \Phi_1 = 33.889$ ; 5, *a* —  $E = 0$ ; 6 — сток из затопленного пространства,  $\Gamma = 0$  ( $m = 0.2588$ ),  $E_{cr} = 4.90$ ,  $\Phi_{cr} = \Phi_1 = 3.144$ ; 6, *a* —  $E = 0$ ; 7 — вихресток из вакуума,  $\Gamma = 0.608$ ,  $E_{cr} = 0.231$ ,  $\Phi_{cr} = \Phi_1 = 1.405$ ; 7, *a* —  $E = 0$ ; 8 — сток из вакуума,  $\Gamma = 0$ ,  $E_{cr} = 0.536$ ,  $\Phi_{cr} = \Phi_1 = 1.235$ ; 8, *a* —  $E = 0$ . Рис. 1, *d*: То же самое, что и на рис. 1, *c*, но для  $M(r)$ .

Уравнения для  $\rho$ ,  $u$ ,  $p$  также имеют особенности при  $M_r = 1$ . Разрешив уравнение (12) с начальным условием из (9)  $M(r_{in}) = M_{in}$ , найдем остальные величины, используя интегральные связи (6), (7), по следующим соотношениям:

$$T = \frac{\Phi(r)}{1 + \frac{\gamma-1}{2}M^2}, \quad V^2 = \frac{\Phi(r)\frac{\gamma-1}{2}M^2}{1 + \frac{\gamma-1}{2}M^2},$$

$$u^2 = V^2 - \frac{\Gamma^2}{r^2}, \quad \rho = \frac{m}{ru}. \quad (13)$$

Рассмотрим конкретные примеры.

## Решения в режиме теплового кризиса

Как и в случае источника (стока) при  $\Gamma = 0$ , для вихреисточника (вихрестока) с тепловыделением в слое

$[r_{in}, r_{ex}]$  по заданному закону  $f(r)$  существует 8 вариантов. В настоящей работе рассмотрим четыре  $E$ -варианта:

I — тепловыделение в вакуум,  $\rho, p, T, v \rightarrow 0$ ;  $u, V \rightarrow 1$  при  $r \rightarrow \infty$ ;

II — в затопленное пространство,  $\rho \rightarrow 1$ ,  $p \rightarrow 1$ ,  $T \rightarrow 1$ ,  $v, u, V \rightarrow 0$  при  $r \rightarrow \infty$ ;

III — из затопленного пространства;

IV — из области разреженного газа (из вакуума).

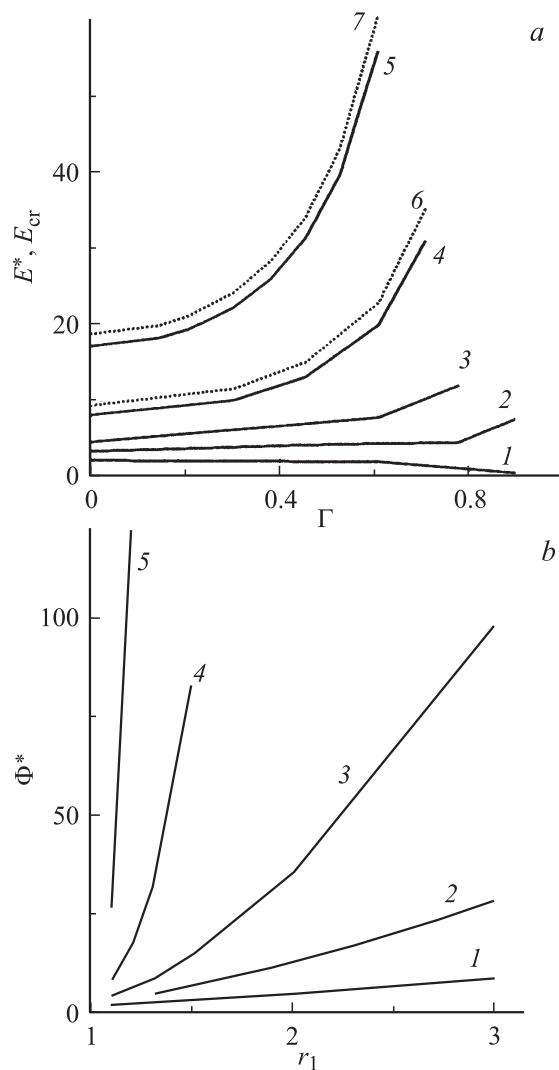
В III, IV радиальная компонента скорости направлена против координаты  $r$ , величины  $u, m, M_r$  — отрицательные. Рассмотрим также некоторые примеры для  $Q$ -вариантов.

На рис. 1 приведены радиальные  $M_r$  (рис. 1, *a, c*) и полное число Маха  $M$  (рис. 1, *b, d*) в зависимости от координаты  $r$  для перечисленных  $E$ -вариантов: I — кривые 1, II — кривые 3, III — кривые 5, IV — кривые 7 при расходе  $m = m_{\max}/4 \approx 0.0647$  ( $\gamma = 1.4$ ) и циркуляции  $\Gamma \approx 0.608$ , однородном тепловыделении  $f = 0.06366$  в

слое единичной ширины от  $r_1 = 2$  до  $r_2 = 3$  (воздух,  $\gamma = 1.4$ ). Для сравнения приведены также  $M_r$ ,  $M(r)$  в отсутствие теплоподвода  $E = 0$  (кривые  $1a-8a$ ) и в отсутствие циркуляции  $\Gamma = 0$  (кривые  $2, 4, 6, 8$ ). Величина  $M(r)$  на рис.  $1, b, d$  взята со знаком минус, чтобы удобнее было сравнивать с  $M_r$ . Критические значения энергетического параметра  $E_{cr}$  (по признаку достижения радиальной компоненты числа Маха значения 1 в замыкающем сечении  $M_r(r_{ex}) = 1$ ) составили: I — 0.490, II — 22.75, III — 18.73, IV — 0.231. Соответствующие значения интеграла полной энергии  $\Phi_{cr} = \Phi(r_{ex})$  равны: I —  $\Phi_{cr} = \Phi_2 \approx 1.85$ , II — 40.67, III —  $\Phi_{cr} = \Phi_1 \approx 33.889$ , IV — 1.405. Сопоставление  $\Phi_{cr}$  для вихресточника (вихрестока) и источника (стока) при выбранном расположении ( $r_1 = 2$ ), ширине области ( $d = r_2 - r_1 = 1$ ), законе теплоподвода ( $f = C$ ) и циркуляции ( $\Gamma \approx 0.608$ ) свидетельствует о том, что энергия, необходимая для реализации теплового кризиса, больше в вихресточнике. Причем в случае затопленного пространства величина  $\Phi_{cr}$  на порядок больше, чем при  $\Gamma = 0$ . В случае разреженного пространства (вакуума) отличия  $\Phi_{cr}$  менее существенные, не превышают 17%. Другой важный вывод: величина параметра энергоподвода не определяет полностью величину энергозатрат в том или ином варианте при достижении теплового запыриания. На это указывает выражение, связывающее  $\Phi_{cr}$  и  $E_{cr}$ :  $\Phi_{cr} = 1 + E_{cr}/2\pi\mu t$  (учли, что  $F(r_{ex}) = 1/2\pi$ ). Полный интеграл энергии зависит от параметра энергоподвода  $E$ , от расхода  $m(\Gamma)$ , от разновидности газа (постоянной адиабаты  $\gamma$ ). Таким образом, циркуляция  $\Gamma$  — предмет исследования в настоящей работе — существенно влияет на  $\Phi_{cr}$ . Кроме того, в  $Q$ -варианте в интеграл  $F_p(r)$  входит переменная плотность газа  $\rho(r)$ .

Отметим, что в  $Q$ -варианте II в затопленное пространство, величины  $Q_{cr}$ ,  $\Phi_{cr}$  составляли 35.98; 4.655 и 768.25; 35.24 при  $\Gamma = 0$  и 0.608 соответственно. В случае линейного закона тепловыделения  $f = C(r_2 - r)$ , в  $E$ -варианте II, в затопленное пространство, величины  $E^* = E(r^*)$  и  $\Phi_{cr} = \Phi_2$  составили 8.0532, 4.4377 и 19.8602, 35.268 при  $\Gamma = 0$  и 0.608 соответственно. Данные демонстрируют различия  $Q$ - и  $E$ -вариантов, а также зависимость (слабую, в данном примере) от закона теплоподвода  $g(r)$  в целом и от функции распределения  $f(r)$ .

На рис. 2 приведены зависимости энергетических параметров  $E^*(\Gamma; r_1)$ ,  $E_{cr}(\Gamma; r_1)$  и полной энергии  $\Phi^*(r_1, \Gamma)$  от циркуляции  $\Gamma$  и расстояния  $r_1$  зоны тепловыделения от минимального сечения  $r = 1$  для вихресточника, истекающего в затопленное пространство,  $E$ -вариант II. Случай однородного теплоподвода (кривые 6, 7 на рис. 2,  $a$ ) незначительно отличается от линейного. В последнем критическое сечение  $r^*$  предшествует замыкающему  $r_2$ , максимальное отличие  $r^*$  от  $r_2$  составляет 0.386 при  $r_1 = 1.1$  и  $\Gamma = 0$  ( $m = m_{max} = 0.2588$ ,  $\gamma = 1.4$ ). Отметим значительное увеличение температуры при больших энергозатратах  $\Phi^*$  (см. рис. 2,  $b$ ), например, отношение  $T_{phys}(r^*)/T_0$  составило 7.04 (при  $\Gamma = 0$ ,  $r_1 = 3$ ,  $\Phi_{phys}^*/h_0 = 8.43$ ),

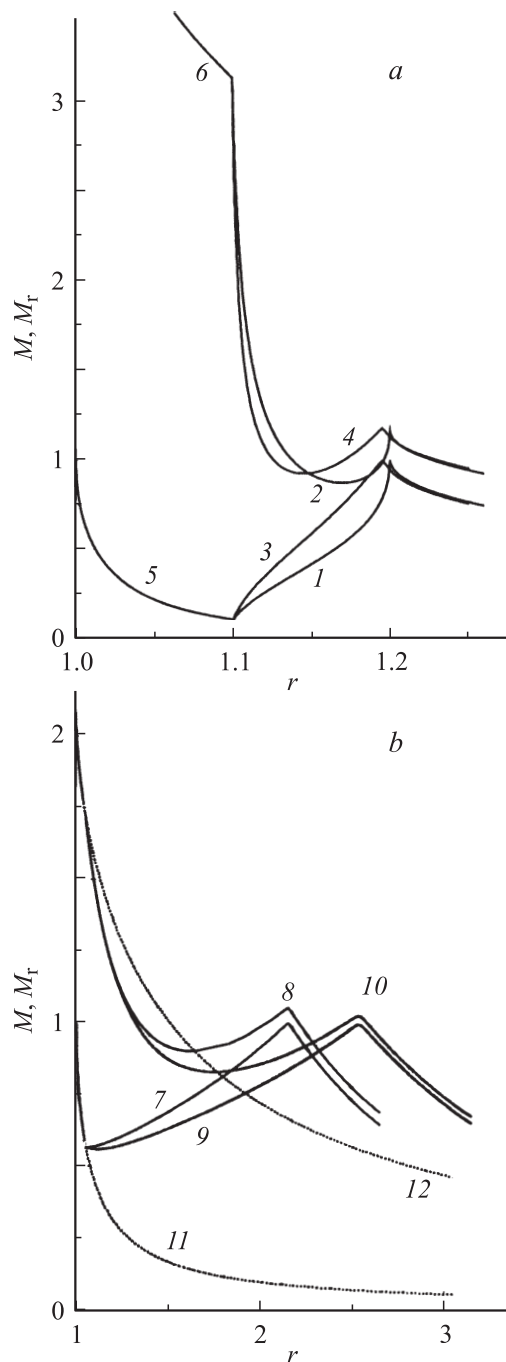


**Рис. 2.** Зависимости  $a$  — энергетических параметров  $E^*$ ,  $E_{cr}$  и  $b$  — подведенной энергии  $\Phi^*$  в критическом сечении  $r^*$  от циркуляции  $\Gamma$  для вихрестока в затопленное пространство при различном удалении  $r_1$  зоны теплоподвода от сечения минимального радиуса (при ширине зоны  $d = 1$ ,  $\gamma = 1.4$ ,  $f = C_L(r_2 - r)$ ).  $a$  — значения  $r_1$ : 1 — 1.1 ( $r_2 = r_1 + d = 2.1$ ), 2 — 1.3 ( $r_2 = 2.3$ ), 3 — 1.5 ( $r_2 = 2.5$ ), 4 — 2.0 ( $r_2 = 3$ ), 5 — 3.0 ( $r_2 = 4$ ); кривые 6 и 7 —  $r_1 = 2$  и 3, однородное тепловыделение  $f = C$ ;  $b$  — значения  $\Gamma$ : 1 — 0, 2 — 0.454, 3 — 0.608, 4 — 0.7766, 5 — 0.8953;  $f = C_L(r_2 - r)$ .

16.2 (при 0.454; 2.5, 19.5), 29.3 (при 0.608, 2.0; 35.2), 25.9 (при 0.7766; 1.3 31.3), 21.5 (при 0.895; 1.1; 26.0). Необходим учет реальных свойств газа.

## Переход через скорость звука

Среди прочих дополнительных возможностей, которые дает наличие циркуляции потока, — переход через скорость звука, причем и в сечениях, близких к критическим. Вихресточник может дать, в конечном итоге, на выходе сверхзвуковой поток или дозвуковой поток,



**Рис. 3.** Вихреисточник в затопленное пространство: зависимости полного числа Маха  $M$  и радиальной составляющей  $M_r$  от координаты  $r$ :  $a$  —  $r_1 = 1.1$ ,  $r_2 = 1.2$  ( $d = 0.1$ ,  $\gamma = 1.4$ ,  $m = m_{\max}/128 = 2.02 \cdot 10^{-3}$ ,  $\Gamma = 0.8953$ ); 1, 3, 5 —  $M_r$ ; 2, 4, 6 —  $M$ ; 1, 2 —  $f = C = 0.09127$ ,  $E_{\text{cr}} \approx 0.159$ ; 3, 4 —  $f = C_L(r_2 - r)$ ,  $E^* \approx 0.143$ ,  $r^* \approx 1.195$ ; 5, 6 —  $E = 0$ ;  $b$  —  $r_1 = 1.05$  ( $m = m_{\max}/4 = 0.0647$ ,  $\Gamma = 0.608$ ); 7, 9, 11 —  $M_r$ ; 8, 10, 12 —  $M$ ; 7, 8 —  $r_2 = 2.55$  ( $d = 1.5$ ),  $f = C_L(r_2 - r)$ ,  $E^* \approx 2.218$ ,  $r^* \approx 2.1549$ ; 9, 10 —  $r_2 = 3.05$  ( $d = 2$ ),  $E^* \approx 3.0538$ ,  $r^* \approx 2.5340$ ; 11, 12 —  $E = 0$ .

переходящий в сверхзвуковой (на входе в прямолинейный участок или искривленный, ограниченный стенками трубы или канала, созданными вдоль линий тока).

На рис. 3 построены зависимости от координаты  $r$  для радиальной компоненты  $M_r$  и полного числа Маха  $M$ . Область энергоподвода расположена в слое от координаты  $r_1 = 1.1$  ( $a$ ) или  $1.05$  ( $b$ ) до  $r_2 = r_1 + d$ . Ширина области тепловыделения  $d$  есть  $0.1$  ( $a$ ),  $1.5$ ,  $2$  ( $b$ ), расход равен  $m = 2.02 \cdot 10^{-3}$  ( $a$ ),  $0.0647$  ( $b$ ), циркуляция  $\Gamma = 0.895$  ( $a$ ),  $0.608$  ( $b$ ). В приведенных вариантах параметры энергоподвода  $E$  незначительно меньше критических значений, течение не запирается.

В источнике без циркуляции ( $\Gamma = 0$ ) возможно сколько угодно близкое приближение к значению числа  $M$ , равному единице, и невозможен переход через сечение, в котором скорость потока равна скорости звука. Наступает тепловой кризис, запирание потока, невозможность обеспечить стационарный зафиксированный расход  $m$ . В вихреисточнике полное значение числа Маха за счет тепловыделения может перейти значение  $M = 1$ . Дозвуковой поток переходит в сверхзвуковой в некоторых сечениях и остается сверхзвуковым в окрестности критического сечения при значении радиальной составляющей числа Маха, достаточно близкой к единице. Теплоподвод в вихреисточнике (стоке) позволяет управлять переходом  $M$  через единицу.

Отметим острый пик зависимостей  $M(r)$ ,  $M_r(r)$  в сверхзвуковой области вблизи критической точки  $r_{\text{cr}} = r_2$  при однородном (постоянном) тепловыделении  $f = C$ . При линейном законе теплоподвода  $f = C_L(r_2 - r)$  пик сглажен, значение радиальной компоненты числа Маха близко к 1 в более широкой окрестности критического сечения  $r^*$  область локальных значений  $M > 1$  шире.

В табл. 1 для вихрестока представлены критические значения параметра тепловыделения ( $E_{\text{cr}}$  либо  $E^*$ , слегка заниженное, чтобы поток не запирался), локально максимальные значения числа Маха  $M_{\max}$  (вблизи критического сечения  $r_2$  либо  $r^*$ ), полная энтальпия  $H(r_{\max})$  или подведенная в поток энергия  $\Phi(r_{\max})$ , учитывающая начальное значение энтальпии  $H(r_1) = 1$ .

С уменьшением ширины области тепловыделения  $d$  (напомним, что  $\int 2\pi r f(r) dr = 1$  в силу нормировки постоянной  $C$ ) значение  $M_{\max}$  растет, значение параметра энерговыделения  $E_{\text{cr}}$  убывает (см. табл. 1), подведенная энергия  $\Phi(r_{\max})$  уменьшается. При переходе от однородного тепловыделения  $f = C$  к линейному закону  $f = C_L(r_2 - r)$  изменения параметров незначительное, наблюдается слабое уменьшение  $E^*$ ,  $\Phi^*$  (по сравнению с  $E_{\text{cr}}$ ,  $\Phi_2$ ) и слабое увеличение  $M_{\max}$ . Изменения постоянной адиабаты  $\gamma$  от 1.4 (воздух, азот, двухатомный газ) в сторону многоатомного газа (уменьшение) приводит к значительному снижению  $E^*$  и менее существенному уменьшению величины  $\Phi^*$  при заметном росте  $M_{\max}$ . При переходе к одноатомному газу ( $\gamma = 5/3$ ) величины  $E^*$ ,  $\Phi^*$  существенно возрастают, а  $M_{\max}$  слабо уменьшается. Время пролета контрольной частицы через область тепловыделения растет с увеличением ширины  $d$ , растет с уменьшением  $\gamma$  и уменьшается с увеличением  $\gamma$ .

В табл. 2 приведены те же параметры, что и в табл. 1 при  $\gamma = 1.4$  (азот, воздух), линейном

**Таблица 1.** Параметры энергоподвода  $E_{cr}, E^*$ , максимальные значения числа Маха  $M_{max}$  в сечениях  $r_{max}$ , полная энтальпия  $H(r_{max}) = \Phi(r_{max})$ , температура газа  $T(r_{max})$ , время  $\Delta t = \int dr/u(r)$  пролета жидкой частицы через область тепловыделения от  $r_1$  до  $r_{max}$ . Координата  $r_1 = 1.1$ , ширина области теплоподвода  $d = 0.1-1$ , постоянная адиабаты  $\gamma = 1.1, 1.4, 5/3$  (многоатомный газ, двухатомный (воздух), одноатомный), закон тепловыделения  $f = C$  и  $f = C_L(r_2 - r)$ . Расход  $m = m_{max}/128 = 2.02 \cdot 10^{-3}$  ( $\gamma = 1.4$ ),  $1.0466 \cdot 10^{-3}$  ( $\gamma = 1.1$ ),  $2.537 \cdot 10^{-3}$  ( $\gamma = 1.6667$ ); циркуляция вихреисточника  $\Gamma = 0.8953$  ( $\gamma = 1.4$ ),  $0.6083$  ( $\gamma = 1.1$ ),  $0.9548$  ( $\gamma = 1.6667$ )

$d,$ $r_2 = r_1 + d$	0.5 1.60	0.3 1.40	0.1 1.20	0.1 1.20	1 2.10	0.1 1.20	0.1 1.20	0.5 1.60
$f = C$	0.2358	0.4244	1.384	$f = C_L(r_2 - r)$ $C_L = 28.09$	$f = C_L(r_2 - r)$ $C_L = 0.222$	$f = C_L(r_2 - r)$ $C_L = 28.09$	$f = C_L(r_2 - r)$ $C_L = 28.09$	$f = 0.2358$
$\gamma$	1.4	1.4	1.4	1.4	1.4	1.1	1.6667	1.4
$m$	0.002	0.002	0.002	0.002	0.002	0.00104	0.00253	$m_{max}/4 = 0.0647$
$\Gamma$	0.895	0.895	0.895	0.895	0.895	0.6083	0.954	0.608
$E_{cr}$	0.3761	0.2649	0.1589	$E_* = 0.1427$	0.4630	0.4171	0.35102	1.5126
$M_{max}$	1.0365	1.0716	1.1604	1.1757	1.0220	1.3572	1.0873	1.114
$r_{max}$	$r_2 = 1.60$	$r_2 = 1.40$	$r_2 = 1.20$	$r^* \approx 1.195$	$r^* \approx 1.933$	$r^* \approx 1.192$	$r^* \approx 1.196$	$r_2 = 1.60$
$\Phi(r_{max})$	$\Phi_2 = 22.1$	$\Phi_2 = 15.8$	$\Phi_2 = 9.93$	$\Phi^* = 9.006$	$\Phi^* = 26.0$	$\Phi^* = 6.729$	$\Phi^* = 14.1$	$\Phi_2 = 3.65$
$T(r_{max})$	$T_2 = 18.2$	$T_2 = 12.9$	$T_2 = 7.83$	$T^* = 7.056$	$T^* = 21.5$	$T^* = 6.16$	$T^* = 10.1$	$T_2 = 2.92$
$\Delta t$	1.5605	1.0860	0.4525	0.3034	1.6580	0.47398	0.23966	1.5778

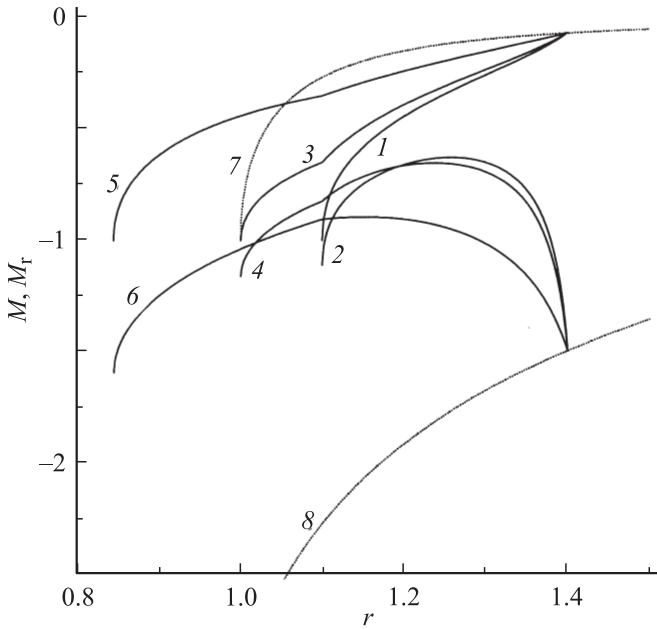
законе  $f = C_L(r_2 - r)$  и начальной координате зоны энергоподвода  $r_1 = 1.05$ . Расход газа составлял  $m = m_{max}/4 = 0.0647$ , циркуляция вихреисточника равна  $\Gamma = 0.608$ . Варьировалась протяженность  $d$  области тепловыделения. Отметим рост  $M_{max}$  с уменьшением  $d$ . Если сопоставить параметры  $E^*$ ,  $\Phi^*$  и число Маха  $M_{max}$  при  $d = 0.5$  (приняв, что условия отличаются незначительно в аналогичных вариантах табл. 1 и 2, кроме расхода и циркуляции) отметим, что энергозатраты (по зна-

**Таблица 2.** Параметры энергоподвода  $E^*$ , максимальные значения числа Маха  $M_{max}$ , координата соответствующего сечения  $r_{max}$ , полная энтальпия  $H(r_{max}) = \Phi(r_{max})$ , температура газа  $T(r_{max})$ , время  $\Delta t = \int dr/u(r)$  пролета жидкой частицы через область тепловыделения от  $r_1$  до  $r_{max}$ . Координата  $r_1 = 1.05$ , ширина области теплоподвода  $d = 0.5-2$ , постоянная адиабаты  $\gamma = 1.4$  (воздух), закон тепловыделения  $f = C_L(r_2 - r)$ . Расход  $m = m_{max}/4 = 0.0647$ ,  $m_{max}/16 = 0.01617$  и  $m_{max}/128 = 0.00202$ , циркуляция вихреисточника  $\Gamma = 0.608, 0.776$  и  $0.895$

$\Gamma$	0.608	0.608	0.608	0.608	0.7766	0.89531
$d$	0.5	1.0	1.5	2.0	0.5	0.5
$r_2 = r_1 - d$	1.55	2.05	2.55	3.05	1.55	1.55
$E^*$	0.7824	1.4640	2.2182	3.05381	0.3687	0.1036
$M_{max}$	1.242	1.103	1.048	1.021	1.244	1.163
$r_{max} \approx r$	1.399	1.771	2.154	2.534	1.321	1.463
$\Phi(r_{max}) \approx \Phi^*$	2.227	3.303	4.498	5.815	3.418	6.612
$T(r_{max}) \approx T^*$	1.701	2.656	3.687	4.813	2.610	5.204
$\Delta t$	0.968	1.755	2.462	3.101	1.097	1.192

чениям  $\Phi(r_{max})$ , равным 22.1 и 2.23 соответственно в табл. 1 и 2) существенно выше в случае более сильной циркуляции  $\Gamma = 0.895$  (в табл. 1 против 0.608 в табл. 2). Рассмотрен случай II, вихреисточник в затопленное пространство. Для вихреисточника в вакуум теплоподвод вызовет торможение сверхзвукового потока, произойдет заграждение в некотором сечении  $r_{cr}, r^*$ . Если параметр энергоподвода взять несколько меньше  $E_{cr}, E^*$ , заграждения не будет, но за сечением минимального значения радиальной компоненты (до значения  $M_r$ , близкого к единице) поток продолжит разгон до сверхзвуковой скорости и выйдет на некоторое максимальное значение скорости, в соответствии с количеством запасенной в зоне тепловыделения энергии. Переход через скорость звука не происходит.

Для вихресточка ситуация иная, при любом теплоподводе вследствие сужения пространства радиальная компонента скорости потока приблизится к скорости звука, за зоной тепловыделения или внутри нее. Таким образом изменится минимальный радиус вихресточка. Для вихресточка из вакуума переход через скорость звука невозможен. В случае вихресточка из затопленного пространства радиальная компонента скорости всюду меньше скорости звука. С помощью тепловыделения в некотором слое  $[r_1, r_2]$  ее можно приблизить к скорости звука, см. пример на рис. 4,  $\Gamma = 0.7766$ , однородное тепловыделение,  $r_1 = 1.1, d = 0.3, r_2 = 1.4$ . Хотя скорость увеличивается, из-за нагрева повышается скорость звука. Число Маха  $M$  сначала снижается ниже единицы, затем переходит значение  $M = 1$ . Критическое значение параметра энергоподвода составило  $E_{cr} = 1.750$ , при этом заграждение потока происходит в замыкающем сечении



**Рис. 4.** Зависимости радиального  $M_r$  и полного числа Маха  $M$  (кривые 1, 3, 5, 7 и 2, 4, 6, 8) от координаты  $r$  в вихреостке из затопленного пространства ( $\gamma = 1.4$ ,  $f = C = 0.4244$ ,  $r_1 = 1.1$ ,  $d = 0.3$ ,  $r_2 = 1.4$ ,  $\Gamma = 0.7766$ ,  $m = m_{\max}/16 = 0.016175$ ): 1, 2 —  $E_{cr} = 1.750$ ,  $r_{cr} = r_1 = 1.1$ ; 3, 4 —  $E = 1.4187$ ,  $r_{\min} = 1$ ; 5, 6 —  $E = E_{\min} = 0.450$ ,  $r_{\min} = r_{mm} = 0.8445$ ; 7, 8 —  $E = 0$ ,  $r_{\min} = 1.0$ .

$r_{cr} = r_1 = 1.1$  (кривые 1, 2 на рис. 4). При  $E < E_{cr}$  в области за зоной тепловыделения, используя известные в сечении  $r_1$  величины  $\rho_1$ ,  $p_1$ ,  $T_1$ ,  $u_1$ ,  $M_1$ , из интегралов (6), (7) и связей (5), (9), в которых введена поправка на увеличенную в результате энергоподвода полную энтальпию  $h_{01} = h_0\Phi_1$ , получим обратное аналитическое решение  $r(M)$ :

$$r^2 = \frac{(m^2/\rho_1^2)(T_1 D(r)/\Phi_1)^{2/(\gamma-1)} + \Gamma^2}{\Phi_1[1 - 1/D(r)]},$$

$$D(r) = 1 + \frac{\gamma-1}{2} M^2(r), \quad \Phi_1 = 1 + \frac{E}{2\pi\gamma t}. \quad (14)$$

Минимальный радиус вихреисточника  $r_{\min}$ , с учетом

$$M_r^2(r_{\min}) = 2u_{\min}^2/(\gamma-1)T_{\min} = 1,$$

где  $u_{\min} = u(r_{\min})$ ,  $T_{\min} = T(r_{\min})$ , находится из уравнения:

$$\left(\frac{m}{r_{\min}\rho_1}\right)^{2(\gamma-1)/(\gamma+1)} \left(\frac{\gamma-1}{2} T_1\right)^{2/(\gamma+1)} = \frac{\gamma-1}{\gamma+1} \left(\Phi_1 - \frac{\Gamma^2}{r_{\min}^2}\right). \quad (15)$$

При  $E = 1.4187$  запирание происходит за зоной тепловыделения в сечении первоначального минимального радиуса  $r_{\min} = 1$  (кривые 3, 4 на рис. 4).

При  $E = 0.450 = E_{\min}$  запирание наступит в сечении  $r_{\min} = 0.8445$  (кривые 5, 6 на рис. 4). Это сечение абсолютно минимального радиуса в рассматриваемом примере. Дальнейшее уменьшение параметра энерговыделения  $E$  приводит к увеличению координаты, при которой радиальная составляющая числа Маха равна по модулю единице. При  $E = 0$  запирание происходит в сечении  $r_{\min} = 1$  (кривые 7, 8).

Решение (14) и условие (15) справедливы также для случая вихреостка из разреженного пространства (из „вакуума“).

## Заключение

В задаче о вихреисточнике (вихреостке) с тепловыделением существуют следующие параметры подобия: расход  $m$  (циркуляция  $\Gamma$ ), параметр энергоподвода  $E$  (или  $Q$ ), постоянная адиабаты  $\gamma$  и параметры, связанные с областью и законом теплоподвода.

Интеграл полной подведенной к критическому сечению энергии  $\Phi_{cr} = \Phi(r_{cr})$  увеличивается с ростом циркуляции  $\Gamma$ , особенно в вариантах с затопленным пространством.

Величина  $\Phi_{cr}$  существенно зависит от параметра энергоподвода  $E$  (или  $Q$ ), от закона  $f(r)$ , постоянной адиабаты  $\gamma$ . С увеличением  $\gamma$  (от многоатомного газа к одноатомному) величина  $\Phi_{cr}$  возрастает.

В вихреисточнике и вихреостке возможно управление локальным переходом через  $M = 1$  за счет теплоподвода, в первую очередь вблизи критических сечений при достаточно близком расположении области энерговыделения от минимального радиуса.

Максимальное значение  $M_{\max}$  сверхзвукового числа Маха растет с уменьшением ширины области тепловыделения, с уменьшением расстояния  $r_1$  от минимального сечения, с увеличением циркуляции  $\Gamma$  вихреисточника, а также уменьшением постоянной адиабаты  $\gamma$  (от одноатомного к многоатомному газу).

В вихреостке с уменьшением параметра энергоподвода меньше критического  $E < E_{cr}$  возможно уменьшение минимального радиуса  $r_{\min}$  до значений меньше 1 (минимальный радиус без теплоподвода). Существует значение  $E_{mm}$ , при котором радиус  $r_{\min}$  равен абсолютно минимальному  $r_{mm}$ .

Работа выполнена при поддержке Государственной программы № П-09 Президиума РАН.

## Список литературы

- [1] Kogan M.N., Kucherov A.N. // The 8<sup>th</sup> Int. Workshop on Magneto-Plasma Aerodynamics. Moscow: 2009. Proceedings. P. 168–179.
- [2] Коган М.Н., Кучеров А.Н. // Теплофизика высоких температур. 2010. Т. 48. № 1 (дополнительный). С. 85–92.
- [3] Георгиевский П.Ю., Левин В.А. // Изв. РАН. МЖГ. 2003. № 5. С. 154–167.

- [4] Кучеров А.Н. // ЖТФ. 2009. Т. 79. Вып. 12. С. 32–39.
- [5] Кучеров А.Н. // ИФЖ. 2010. Т. 80. № 5. С. 873–877.
- [6] Kogan M.N., Kucherov A.N. // The 9<sup>th</sup> International Workshop on Magneto-Plasma Aerodynamics. Moscow: 2010. Proceedings. P. 59–69.
- [7] Абрамович Г.Н. // ДАН СССР. 1946. Т. 54. № 7. С. 579–581.
- [8] Вулис Л.А. // ДАН СССР. 1946. Т. 54. № 8. С. 669–672.
- [9] Кучеров А.Н. Препринт ЦАГИ № 157. М.: Изд-во ЦАГИ, 2009. 36 с.
- [10] Третьяков П.К., Грачев Г.Н., Иванченко А.И., Крайнев В.Л., Пономаренко А.Г., Тищенко В.Н. // Докл. РАН. 1994. Т. 336. № 4. С. 466–467.
- [11] Третьяков П.К., Гаранин Г.Ф., Грачев Г.Н., Крайнев В.Л., Пономаренко А.Г., Тищенко В.Н., Яковлев В.И. // Докл. РАН. 1996. Т. 351. № 3. С. 339–340.
- [12] Зудов В.Н., Третьяков П.К., Тупикин А.В., Яковлев В.И. // Изв. РАН. МЖГ. 2003. № 5. С. 140–153.
- [13] Кучеров А.Н. // ЖТФ, 2004. Т. 74. Вып. 7. С. 74–77.
- [14] Громов В.Г., Еришов А.П., Левин В.А., Шибков В.М. // Теплофизика высоких температур. 2006. Т. 44. № 2. С. 185–194.
- [15] Коган М.Н., Кучеров А.Н., Ефимов Б.Г., Скворцов В.В. // 3-я школа-семинар по магнитноплазменной аэродинамике. М., 2008. С. 146–149.
- [16] Еришов А.П., Сурконт О.С., Тимофеев И.Б., Шибков В.М., Черников В.А. // Теплофизика высоких температур 2004. Т. 42. № 4. С. 516–522.
- [17] Фабрикант Н.Я. Аэродинамика. Ч. I. М., 1949.
- [18] Мизес Р. Математическая теория течений сжимаемой жидкости. М.: ИЛ, 1961. 588 с. (*Mises R. Mathematical Theory of Compressible Fluid Flow. NY: Academic Press INC Publishers, 1958*).
- [19] Кучеров А.Н. // Ученые записки ЦАГИ. 1983. Т. 14. № 4. С. 47–57.